

GRAĐEVINSKI FAKULTET  
UNIVERZITETA U BEOGRADU  
Odsek za konstrukcije  
Katedra za materijale i konstrukcije  
Master studije (28+28)  
I semester (2+2)  
V.prof. dr Ivan Ignjatović

---

# **SANACIJE, REKONSTRUKCIJE I ODRŽAVANJE BETONSKIH KONSTRUKCIJA U VISOKOGRADNJI**



# UPOTREBNI VEK

- Upotrebni vek:
  - Tehnički
  - Funkcionalni
  - Ekonomski
- Dužina upotrebnog veka (ISO 2394):

Kategorija	Proračunski upotrebni vek [god]	Primeri
1	10	Privremeni objekti
2	10 do 25	Zamenjivi delovi konstrukcije, nosači, ležišta
3	15 do 30	Poljoprivredni i drugi slični objekti
4	50	Zgrade i slične konstrukcije
5	100 i više	Monumentalne zgrade ili objekti, mostovi



# TIPOVI GRANIČNIH STANJA (SA ASPEKTA TRAJNOSTI)

- Granično stanje upotrebljivosti (SLS)
- Granično stanje nosivosti (ULS)



# Granično stanje upotrebljivosti (SLS)



# Granično stanje nosivosti (ULS)



# Granično stanje upotrebljivosti (SLS)



## Granično stanje nosivosti (ULS)



# Granično stanje nosivosti (ULS)



# PROJEKTOVANJE PREMA UPOTREBNOM VEKU (SERVICE LIFE DESIGN, *fib*, 2006)

- Model propisa
- Projektovanje u odnosu na trajnost betonskih konstrukcija bazirano na:
  - Ponašanju (engl. *Performance based durability design*)
  - Pouzdanosti
- Postupak proračuna u 4 koraka



# POUZDANOST KONSTRUKCIJE

- ISO 2394: Opšti principi pouzdanosti za zgrade: sposobnost konstrukcije da zadovolji postavljene zahteve pod specifičnim uslovima tokom upotrebnog veka, prema kome je projektovana
- EN 1990: 2002: ...nosivost, upotrebljivost, trajnost



# POUZDANOST KONSTRUKCIJE

- Ponašanje konstrukcije opisano grupom promenljivih  $X = [X_1, \dots, X_n]$
- Funkcija graničnog stanja  $Z(X)$ 
  - $Z(X) \geq 0$  ..... bezbedno stanje konstrukcije
  - $Z(X) < 0$  ..... neželjeno stanje (lom) konstrukcije
- Verovatnoća loma,  $P_f$      $P_f = P\{Z(X) < 0\}$
- Indeks pouzdanosti,  $\beta$      $\beta = -\Phi_U^{-1}(P_f)$

$P_f$	$10^{-1}$	$10^{-2}$	$10^{-3}$	$10^{-4}$	$10^{-5}$	$10^{-6}$	$10^{-7}$
$\beta$	1.28	2.32	3.09	3.72	4.27	4.75	5.20



# POUZDANOST KONSTRUKCIJE

- EN 1990: 2002: tri klase pouzdanosti: RC1, RC2, RC3

Klasa prema pouzdanosti	Minimalne vrednosti za $\beta$	
	ref. period 1 god.	ref. period 50 god.
RC1	5.2	4.3
RC2	4.7	3.8
RC3	5.2	3.3

- EN 1990: 2002: indeks  $\beta$  za klasu RC2

Granično stanje	Ciljni indeks pouzdanosti, $\beta$	
	ref. period 1 god.	ref. period 50 god.
Nosivost	4.7	3.8
Upotrebljivost	2.9	1.5



# POUZDANOST KONSTRUKCIJE

- EN 1990: 2002: klase prema posledicama (CC1,CC2,CC3)

Klase posledica	Opis	Primeri zgrada ili građevinskih radova
CC3	Teške posledice usled gubitka ljudskih života ili velike ekonomski socijalne i posledice po okolini	Tribine , javne zgrade gde bi posledice loma bile teške (koncertne dvorane)
CC2	Prihvatljive posledice usled gubitka ljudskih života , prihvatljive ekonomski i posledice po okolini	Poslovne i stambene zgrade, javne zgrade gde su posledice loma srednje
CC1	Blage posledice usled gubitka ljudskih života i male ekonomski socijalne i posledice po okolini	Poljoprivredni objekti gde ljudi obično ne ulaze (skladišta )

- CC3→ RC1, CC2→ RC2, CC1→ RC3



# POUZDANOST KONSTRUKCIJE

- Vrsta konstrukcije  klasa posledica (CC)
- Klasa posledica  klasa pouzdanosti (RC)
- Klasa pouzdanosti + tip graničnog stanja  
 indeks pouzdanosti ( $\beta$ )
- Indeks pouzdanosti  koeficijent sigurnosti



# POUZDANOST KONSTRUKCIJE

- Indeksi pouzdanosti prema predlogu Modela propisa (**fib**, 2006)

Opis	Klasa pouzdanosti	SLS	ULS
		Depasivizacija	Lom
Korozija izazvana karbonizacijom	RC1	1.3 ( $p_f \approx 10^{-1}$ )	3.7 ( $p_f \approx 10^{-1}$ )
	RC2	1.3 ( $p_f \approx 10^{-1}$ )	4.2 ( $p_f \approx 10^{-1}$ )
	RC3	1.3 ( $p_f \approx 10^{-1}$ )	4.4 ( $p_f \approx 10^{-1}$ )
Korozija izazvana hloridima iz vazduha, soli protiv smrzavanja	RC1	1.3 ( $p_f \approx 10^{-1}$ )	3.7 ( $p_f \approx 10^{-1}$ )
	RC2	1.3 ( $p_f \approx 10^{-1}$ )	4.2 ( $p_f \approx 10^{-1}$ )
	RC3	1.3 ( $p_f \approx 10^{-1}$ )	4.4 ( $p_f \approx 10^{-1}$ )
Korozija izazvana hloridima iz morske vode	RC1	1.3 ( $p_f \approx 10^{-1}$ )	3.7 ( $p_f \approx 10^{-1}$ )
	RC2	1.3 ( $p_f \approx 10^{-1}$ )	4.2 ( $p_f \approx 10^{-1}$ )
	RC3	1.3 ( $p_f \approx 10^{-1}$ )	4.4 ( $p_f \approx 10^{-1}$ )



# POUZDANOST KONSTRUKCIJE

- EN 1990: 2002: tri klase pouzdanosti: RC1, RC2, RC3

Klasa prema pouzdanosti	Minimalne vrednosti za $\beta$	
	ref. period 1 god.	ref. period 50 god.
RC1	5.2	4.3
RC2	4.7	3.8
RC3	5.2	3.3

- EN 1990: 2002: indeks  $\beta$  za klasu RC2

Granično stanje	Ciljni indeks pouzdanosti, $\beta$	
	ref. period 1 god.	ref. period 50 god.
Nosivost	4.7	3.8
Upotrebljivost	2.9	1.5



# PRORAČUNSKI DOKAZI

- (Pot)puna probabilistička metoda
- Metoda parcijalnih koeficijenata sigurnosti
- Iskustvene preporuke
- Postupci za sprečavanje deterioracije
- Metoda indikatora trajnosti



## Puna probalistička metoda

- Model deterioracionog procesa
- Definisanje parametara modela
- Predstavljanje parametara preko funkcije raspodele
- Definisanje jednačine graničnog stanja (grupisane vrednosti uticaja od dejstava, E i otpornosti, R)
- Jednačina metode:  $p\{\} = p_{dep} = p\{R < E\} < p_0$
- Više parametara – složeniji postupak – programi (STRUCEL)
- Primena za izuzetno značajne objekte



## Metoda parcijalnih koeficijenata sigurnosti

- Proračunski dokaz da za sve relevantne proračunske situacije, nijedno relevantno granično stanje nije prekoračeno
- Model deterioracionog procesa
- proračunske vrednosti dejstava, uticaja od dejstava i nostivosti → koeficijenti sigurnosti



# Metoda parcijalnih koeficijenata sigurnosti

- Proračunske vrednosti dejstava date su kao:

$$E_d = \gamma_e \cdot E_k$$

- Proračunske vrednosti otpornosti ili svojstava materijala

$$R_d = \frac{R_k}{\gamma_m}$$

- Karakteristične vrednosti – ispitivanja pod specifičnim uslovima, faktori konverzije



# Iskustvene preporuke

- Dimenzionisanje
- Izbor materijala
- Procedure izvođenja
- Nema modela i parametara procesa deterioracije
- Aktuelni način obezbeđivanja trajnosti



# Postupci za sprečavanje procesa deterioracije

- Nema proračuna, nema kvantifikacije parametara
- Mere zaštite i stvaranje uslova u kojima beton neće biti izložen agresivnom dejstvu sredine
  - upotreba fasada,
  - membrana,
  - korišćenja nereaktivnih materijala (nerđajući čelik)
  - primena elektrohemijske metode za sprečavanje korozije armature.



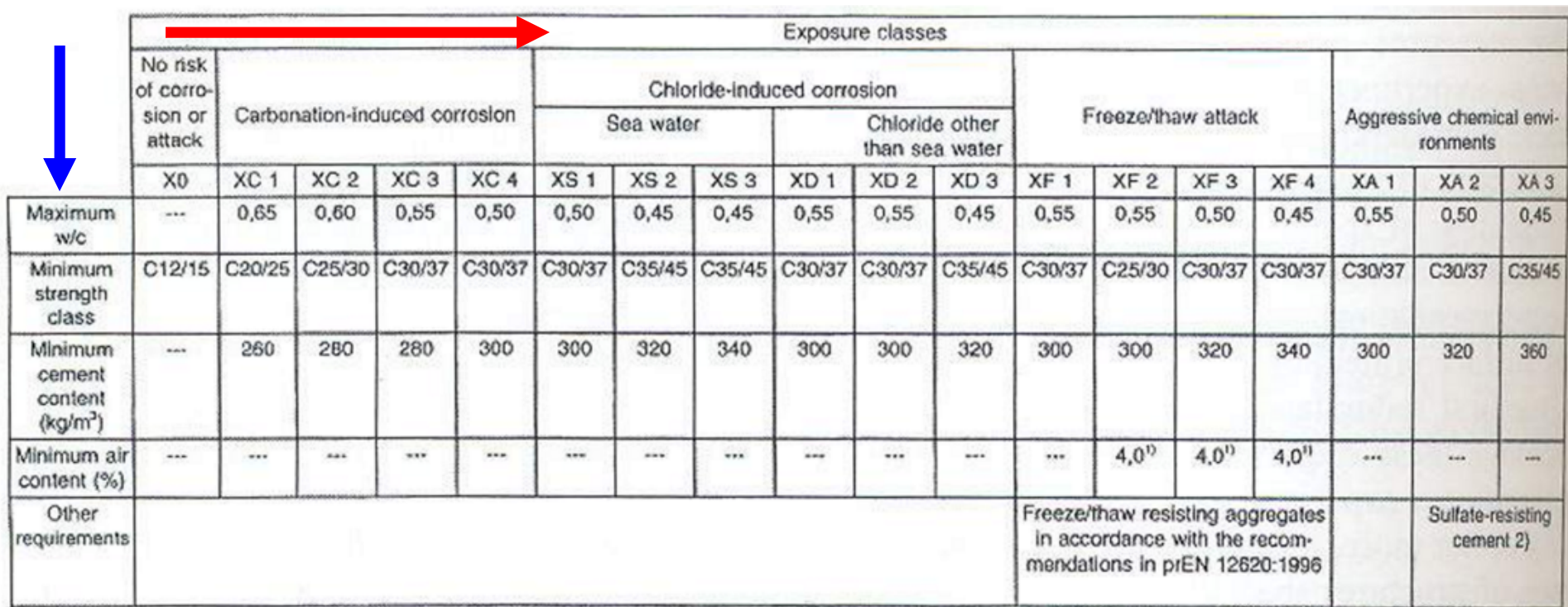
# Metoda indikatora trajnosti

- Ne izvodi se jednačina graničnog stanja
- Tabulisane limitirajuće vrednosti indikatora trajnosti
- Indikatori trajnosti - ključnih parametara modela mehanizma deterioracije (poroznost, koeficijent difuzije hlorida, permeabilnost...).
- Hibridna metoda, nastavak EC2 metodologije



# TRAJNOST KROZ PROPISE

- Prateći standard EN 206-1:2002: vodocementni faktor, količina cementa, sadržaj uvučenog vazduha



No risk of corrosion or attack	Exposure classes																								
	Carbonation-induced corrosion					Chloride-induced corrosion					Freeze/thaw attack				Aggressive chemical environments										
	Sea water				Chloride other than sea water				XF 1				XF 2			XF 3		XF 4		XA 1			XA 2		XA 3
X0	XC 1	XC 2	XC 3	XC 4	XS 1	XS 2	XS 3	XD 1	XD 2	XD 3	XF 1	XF 2	XF 3	XF 4	XA 1	XA 2	XA 3								
Maximum w/c	---	0,65	0,60	0,55	0,50	0,50	0,45	0,45	0,55	0,55	0,45	0,55	0,55	0,50	0,45	0,55	0,50	0,45							
Minimum strength class	C12/15	C20/25	C25/30	C30/37	C30/37	C30/37	C35/45	C35/45	C30/37	C30/37	C35/45	C30/37	C25/30	C30/37	C30/37	C30/37	C30/37	C30/37	C30/37	C35/45					
Minimum cement content (kg/m <sup>3</sup> )	---	260	280	280	300	300	320	340	300	300	320	300	300	320	340	300	320	360							
Minimum air content (%)	---	---	---	---	---	---	---	---	---	---	---	4,0 <sup>1)</sup>	4,0 <sup>1)</sup>	4,0 <sup>1)</sup>	---	---	---	---							
Other requirements	Freeze/thaw resisting aggregates in accordance with the recommendations in prEN 12620:1996											Sulfate-resisting cement 2)													



				< 30 years		Required service life / Structure category /			
				Level 1		Requirement level		Type of environment →	
> 120 years So-called exceptional structures	from 100 to 120 years Large structures	from 50 to 100 years Building & civil engineering structures	from 30 to 50 years Building			Dry and very dry (RH<65%) or permanently humid		1	
<b>Level 5</b>	<b>Level 4</b>	<b>Level 3</b>	<b>Level 2</b>			Humid (RH>80%)		2	
• $P_{water} < 9$ • $K_{gas} < 10$	• $P_{water} < 12$ • $K_{gas} < 100$	• $P_{water} < 14^{(6)}$	• $P_{water} < 16$	• $P_{water} < 16$		Moderately humid (65<RH<80%)		3	
• $P_{water} < 9$ • $k_{liq} < 0.01$	• $P_{water} < 12$ • $K_{gas} < 100$	• $P_{water} < 14^{(6)}$	• $P_{water} < 16$	• $P_{water} < 16$		Frequent wetting-drying cycles		4	
• $P_{water} < 9$ • $K_{gas} < 10$ • $k_{liq} < 0.01$	• $P_{water} < 9$ • $K_{gas} < 10^{(4)}$	• $P_{water} < 12^{(7)}$ • $K_{gas} < 100^{(8)}$	• $P_{water} < 14^{(5)}$	• $P_{water} < 15$		Exposure to marine salts or deicing salts		5	
• $P_{water} < 9$ • $D_{app(mig)} < 1$ • $K_{gas} < 10$ • $k_{liq} < 0.01$	• $P_{water} < 9$ • $K_{gas} < 10$ • $k_{liq} < 0.01$	• $P_{water} < 12^{(7)}$ • $k_{liq} < 0.1^{(9)}$	• $P_{water} < 14^{(6)}$	• $P_{water} < 16$	5.1 Low [Cl-] <sup>(1)</sup>				
• $P_{water} < 9$ • $D_{app(mig)} < 10$ • $K_{gas} < 10$ • $k_{liq} < 0.01$	• $P_{water} < 12$ • $D_{app(mig)} < 20$	• $P_{water} < 14$	• $P_{water} < 15$	• $P_{water} < 16$	5.2 High[Cl-] <sup>(2)</sup>				
• $P_{water} < 9$ • $D_{app(mig)} < 1$ • $K_{gas} < 10$ • $k_{liq} < 0.01$	• $P_{water} < 9$ • $D_{app(mig)} < 1$	• $P_{water} < 11$ • $D_{app(mig)} < 2$ • $K_{gas} < 10$ • $k_{liq} < 0.1^{(3)}$	• $P_{water} < 11$	• $P_{water} < 14$		Submersion in water containing chlorides		6	
• $P_{water} < 9$ • $D_{app(mig)} < 1$	• $P_{water} < 12$ • $D_{app(mig)} < 5$	• $P_{water} < 13$ • $D_{app(mig)} < 7$	• $P_{water} < 13$	• $P_{water} < 15$		Tidal zone		7	
• $P_{water} < 9$ • $D_{app(mig)} < 1$ • $K_{gas} < 10$ • $k_{liq} < 0.01$	• $P_{water} < 10$ • $D_{app(mig)} < 2$	• $P_{water} < 11$ • $D_{app(mig)} < 3$ • $K_{gas} < 100$ • $k_{liq} < 0.1^{(3)}$	• $P_{water} < 11$	• $P_{water} < 14$					



# Metoda indikatora trajnosti

- Ključne razlike:
  - korišćenje parametara iz odgovarajućeg modela mehanizma deterioracije
  - vrednosti indikatora trajnosti za različita trajanja upotrebnog veka
- Primena: naročito pogodna metoda za određivanje aktuelnog stanja konstrukcije sa aspekta trajnosti



# ZAKLJUČAK

- Aktuelni pristup:
  - Nema kvantifikacije stvarnih uslova izloženosti
  - Upotrebnii vek nije normiran
  - Nisu poznata granična stanja koja mogu biti dostignuta
  - Nema sigurne baze za iskustvene preporuke
  - Trajnost – deo projekta od sekundarnog značaja



# PRORAČUNSKI DOKAZ ZA GRANIČNO STANJE DEPASIVIZACIJA ARMATURE USLED KARBONIZACIJE

- Primena pune probabilističke metode
- Jednačina metode:  $p\{\} = p_{dep} = p\{R - E < 0\} < p_0$
- Jednačina graničnog stanja:

$$p\{\} = p_{dep} = p\{a - x_c(t_{SL}) < 0\} < p_0$$

- $p\{\}$  – verovatnoća da se desi depasivacija armature
- $a$  – debljina zaštitnog sloja [mm]
- $x_c(t_{SL})$  – dubina karbonizacije nakon vremena  $t_{SL}$  [mm]
- $t_{SL}$  – proračunski upotrebni vek [godine]
- $p_0$  – zahtevana (ciljna) vrednost verovatnoće



# PRORAČUNSKI DOKAZ ZA GRANIČNO STANJE DEPASIVIZACIJA ARMATURE USLED KARBONIZACIJE

- Proračun dubine karbonizacije (DuraCrete, Darts):

$$x_c(t) = \sqrt{2 \cdot k_e \cdot k_c \cdot (k_t \cdot R_{ACC,0}^{-1} + \varepsilon_t) \cdot C_s} \cdot \sqrt{t} \cdot W(t)$$

$x_c(t)$  – dubina karbonizacije u određenom trenutku vremena t [mm]

$t$  – vreme [godine]

$k_e$  – funkcija okoline

$k_c$  – parametar izvođenja

$k_t$  – parametar povraćaja

$R_{ACC,0}^{-1}$  – inverzna vrednost otpornosti betona na karbonizaciju  
[(mm<sup>2</sup>/god)/(kg/m<sup>3</sup>)]

$\varepsilon_t$  – greška

$C_s$  – koncentracija CO<sub>2</sub> u vazduhu [kg/m<sup>3</sup>]

$W(t)$  – funkcija vremenskih prilika.



# KVANTIFIKACIJA PARAMETARA

## Funkcija okoline, $k_e$

- Uticaj nivoa vlažnosti na koeficijent difuzije CO<sub>2</sub>
- Referentni klimatski podaci:
  - Relativna vlažnost vazduha: RH=65%

$$k_e = \frac{\left(1 - \left(\frac{RH_{real}}{100}\right)^{f_e}\right)^{g_e}}{\left(1 - \left(\frac{RH_{ref}}{100}\right)^{f_e}\right)}$$

- Podaci iz obližnje meteorološke stanice
- Beta ili Weibull-ova raspodela



# KVANTIFIKACIJA PARAMETARA

## Parametar izvođenja, $k_c$

- Uticaj nege betona na efektivnu otpornost betona na karbonizaciju

$$k_c = \left( \frac{t_c}{7} \right)^{b_c}$$

- $k_c$  - parametar izvođenja
- $b_c$  - eksponent regresije
- $t_c$  - period negovanja [dani].

- Normalna raspodela
  - Srednja vrednost
  - Standardna devijacija

$$\mu = -0,567 \quad \sigma = 0,024$$



# KVANTIFIKACIJA PARAMETARA

## Inverzna karbonizaciona otpornost, $R_{ACC,o}^{-1}$

- Određuje se ubrzanim karbonizacionim testovima (ACC test), u laboratorijskim uslovima

$$R_{ACC,o}^{-1} = \left( \frac{x_c}{\tau} \right)^2$$

- Odnos inverznih karbonizacionih otpornosti betona pod laboratorijskim i prirodnim uslovima:

$$R_{NAC,o}^{-1} = k_t \cdot R_{ACC,o}^{-1} + \varepsilon_t$$

$k_t$  – parametar regresije koji uzima u obzir uticaj ubrzanog testa na rezultate dobijene pod prirodnim uslovima (normalna raspodela)

$\varepsilon_t$  – faktor greške koji uzima u obzir netačnosti koje se dešavaju povremeno kada se koristi ACC test (normalna raspodela)



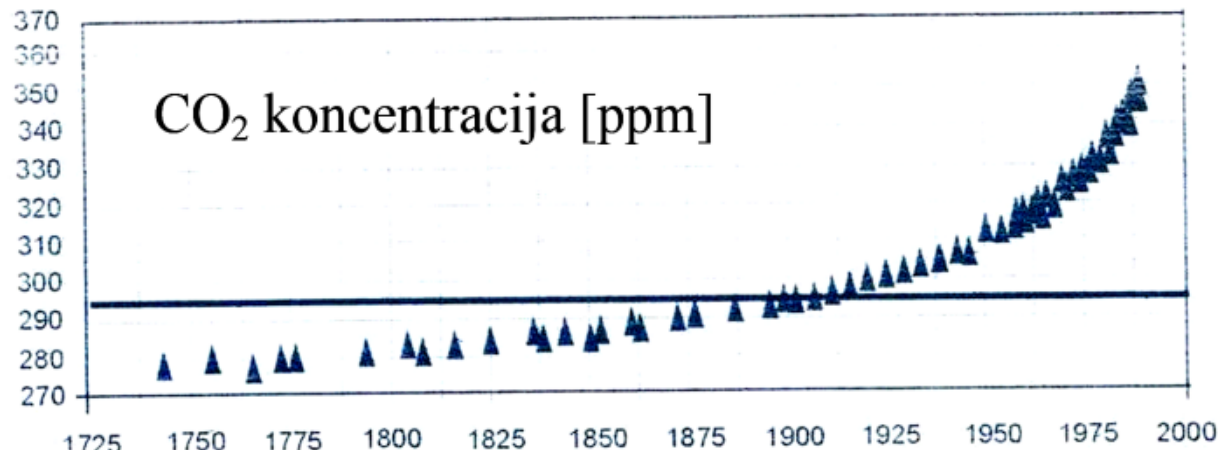
# KVANTIFIKACIJA PARAMETARA

## Uticaj sredine, $C_s$

- Koncentracija  $\text{CO}_2$  u vazduhu

$$C_s = C_{s,atm.} + C_{s,emi.}$$

- Tunelske konstrukcije, dimnjaci
- Trend rasta koncentracije  $\text{CO}_2$



# KVANTIFIKACIJA PARAMETARA

## Funkcija vremenskih prilika, W

- Uticaj lokalnih klimatskih uslova – vlaženje površine betona

$$W = \left( \frac{t_0}{t} \right)^{\frac{(p_{SR} \cdot ToW)^{b_w}}{2}} = \left( \frac{t_0}{t} \right)^w$$

- $t_0$  – referentno vreme [god], konstantan parametar čija je vrednost 0,0767 (28 dana)
- $w$  – eksponent vremena
- $ToW$  – vreme vlaženja :  $ToW = \frac{\text{broj\_kišnih\_dana\_u\_godini}}{365}$
- $p_{SR}$  – verovatnoća jake kiše sa vetrom
- $b_w$  – eksponent regresije,



# PRORAČUNSKI DOKAZ ZA GRANIČNO STANJE DEPASIVIZACIJA ARMATURE USLED KARBONIZACIJE

- Proračun dubine karbonizacije (AFGC):

$$x_c(t) = \gamma \cdot f(RH) \cdot k \cdot \sqrt{t}$$

*$\gamma$ -faktor izloženosti karbonizaciji*

*$f(RH)$  – uticaj relativne vlažnosti vazduha*

*$k$ –karakteristika prenosa kroz beton (funkcija klase čvrstoće betona)*



# PRORAČUNSKI DOKAZ ZA GRANIČNO STANJE DEPASIVIZACIJA ARMATURE USLED KARBONIZACIJE

$\gamma$ -faktor izloženosti karbonizaciji

Tip konstrukcije	Faktor izloženosti karbonizaciji ( $\gamma$ )
Konstrukcije izložene visokoj koncentraciji CO <sub>2</sub>	1.5
Konstrukcije zaštićene od kiše	1.2
Konstrukcije izuzetno izložene padavinama	0.9

$k$ -karakteristika prenosa kroz beton (funkcija klase čvrstoće betona)

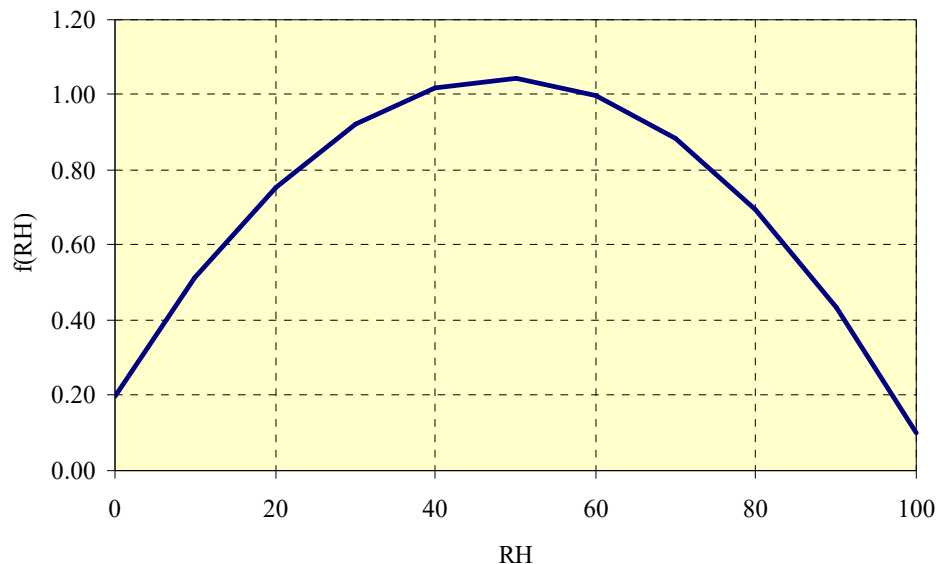
$$k = \sqrt{365} \cdot \left( \frac{1}{2.1\sqrt{R_{C28}}} - 0.06 \right)$$



# PRORAČUNSKI DOKAZ ZA GRANIČNO STANJE DEPASIVIZACIJA ARMATURE USLED KARBONIZACIJE

$f(RH)$  – uticaj relativne vlažnosti vazduha

$$f(HR) = -3.5833 \cdot HR^2 + 3.4833 \cdot HR + 0.2$$



# PRORAČUNSKI DOKAZ ZA GRANIČNO STANJE DEPASIVIZACIJA ARMATURE USLED KARBONIZACIJE

- Primena metode parcijalnih koeficijenata sigurnosti
- Jednačina graničnog stanja:

$$a_d - x_{c,d}(t_{SL}) \geq 0$$

$a_d$  – proračunska vrednost debljine zaštitinog sloja [mm]     $a_d = a_k - \Delta a$

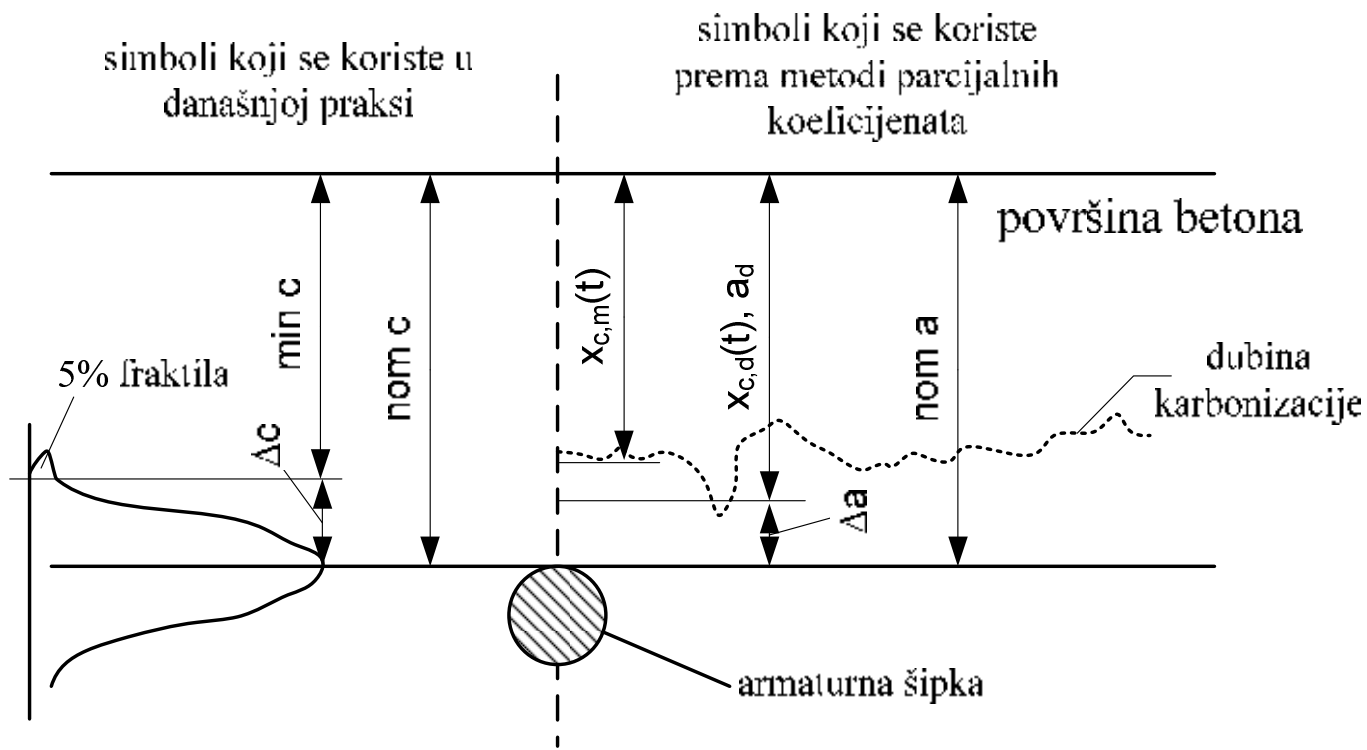
$x_{c,d}(t_{SL})$  – proračunska vrednost dubine karbonizacije u vremenu  $t_{SL}$  [mm].

$$x_{c,d}(t_{SL}) = \sqrt{2 \cdot k_{e,d} \cdot k_{c,d} \cdot (k_{t,d} \cdot R^{-1}_{ACC,0,k} \cdot \gamma_R + \epsilon_{t,d}) \cdot C_{S,d}} \cdot \sqrt{t_{SL}} \cdot W(t_{SL})$$

$$x_c(t) = \sqrt{2 \cdot k_e \cdot k_c \cdot (k_t \cdot R^{-1}_{ACC,0} + \epsilon_t) \cdot C_S} \cdot \sqrt{t} \cdot W(t)$$



# PRORAČUNSKI DOKAZ ZA GRANIČNO STANJE DEPASIVIZACIJA ARMATURE USLED KARBONIZACIJE



$$\text{Evrokod 2: } a_{\text{nom}} = a_{\text{min}} + \Delta a$$



# BROJNI PRIMER\_1

- Fasadni betonski element, izložen sušenju i vlaženju
- Metoda parcijalnih koeficijenata sigurnosti
- Debljina zaštitnog sloja u funkciji vremena?
- Ključni parametri:
  - funkcija okoline  $k_e$
  - inverzna karbonizaciona otpornost betona određena ubrzanim testovima  $R_{ACC,o}^{-1}$
  - debljina zaštitnog sloja a
- Indeks pouzdanosti:  $\beta=1,3$   koeficijenti sigurnosti !



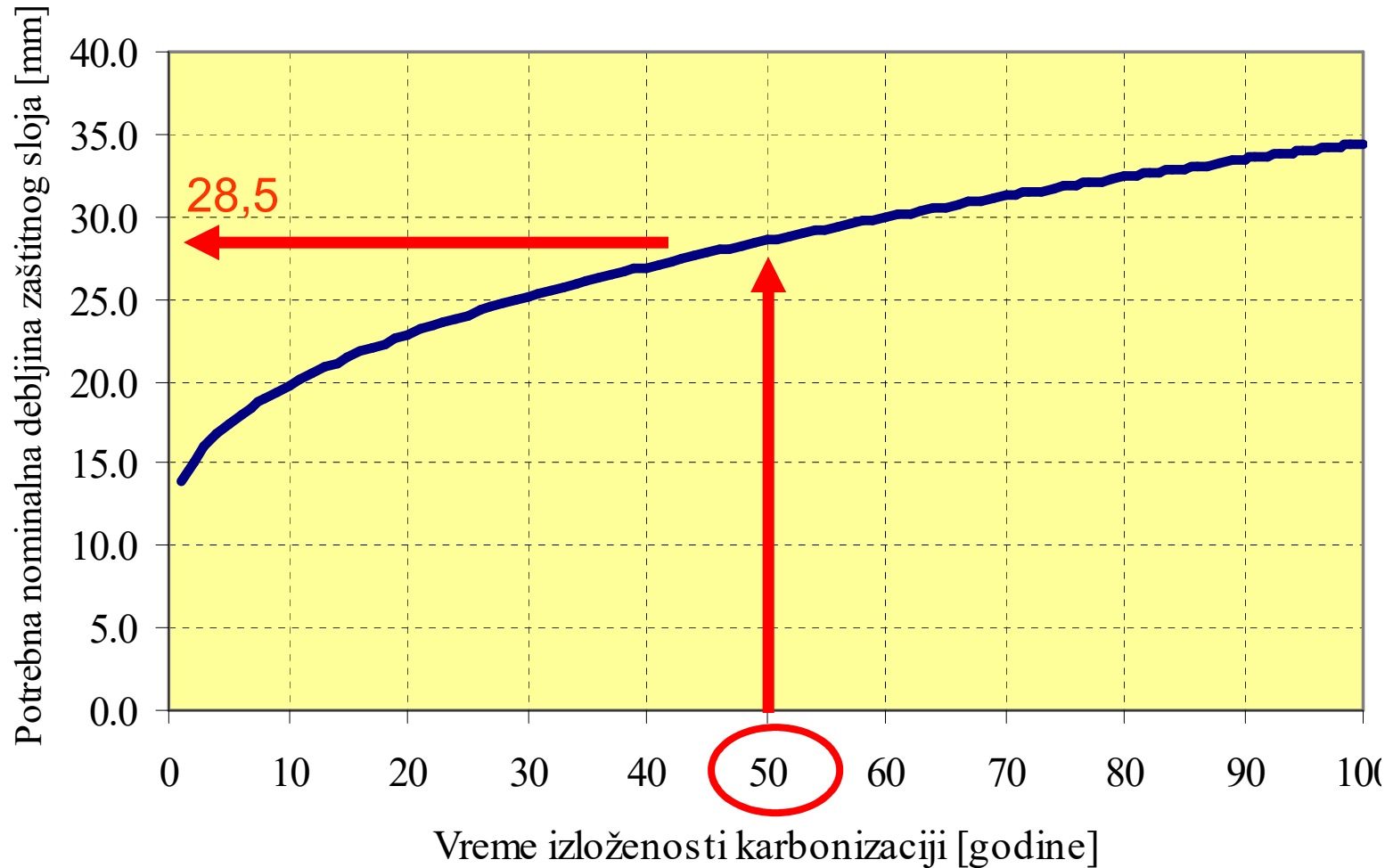
# BROJNI PRIMER\_1

Parametar	Jedinica	Ulagani podatak
$k_{e,d}$	RHreal,k	[% rel. vlažnosti] 80
	$RH_{ref}$	[% rel. vlažnosti] 65
	$\gamma_{RH}$	[-] 1.3
	$g_e$	[-] 2.5
	$f_e$	[-] 5.0
$k_{c,d}$	$b_c$	[-] -0.567
	$t_c$	[dan] 3.0
$R_{NAC,0,k}^{-1}$	$k_{t,d}$	[-] 1.25
	$R_{ACC,0,k}^{-1}$	[ $(mm^2/god)/(kgCO_2/m^3)$ ] 4500
	$\gamma_R$	[-] 1.5
	$\varepsilon_{t,d}$	[ $(mm^2/god)/(kgCO_2/m^3)$ ] 315.5
$C_{S,d}$	[ $kgCO_2/m^3$ ]	0.00082
$t_{SL}$	[godine]	0-100
W	ToW	[-] 0.27
	$b_{w,d}$	[-] 0.446
	$p_{SR}$	[-] 0.1
	$t_0$	[god] 0.0767
	$x_{nom}$	[mm] ?



# BROJNI PRIMER\_1

$$x_{c,d}(t_{SL}) = \sqrt{2 \cdot k_{e,d} \cdot k_{c,d} \cdot (k_{t,d} \cdot R^{-1}_{ACC,0,k} \cdot \gamma_R + \varepsilon_{t,d}) \cdot C_{S,d} \cdot \sqrt{t_{SL}} \cdot W(t_{SL})}$$



## BROJNI PRIMER\_1

- Fasadni betonski element, izložen sušenju i vlaženju, klimatski prostor-Srednja Evropa
- Debljina zaštitnog sloja prema BAB 87?
  
- Član 113: "srednje" agresivna sredina: za elemente koji su izloženi vlazi, atmosferskim i slabijim korozivnim uticajima
- $a=a_0 + \Delta a = 2,0 \text{ cm} + 0,5 = 2,5 \text{ cm}$
  
- Montažni element:  $a= 2,5 - 0,5 = 2,0 \text{ cm}$
  
- Upotrebni vek?



# PRORAČUNSKI DOKAZ ZA GRANIČNO STANJE DEPASIVIZACIJA ARMATURE USLED PENETRACIJE HLORIDA

- Primena pune probabilističke metode
- Jednačina metode:  $p\{\} = p_{dep} = p\{R - E < 0\} < p_0$
- Jednačina graničnog stanja:

$$p\{\} = p_{dep} = p\{C_{Crit} - C(a, t_{SL}) < 0\} < p_0$$

- $p\{\}$  – verovatnoća da se desi depasivizacija armature
- $a$  – debljina zaštitnog sloja [mm]
- $C_{crit}$  – kritična koncentracija hlorida
- $C(a, t_{SL})$  – koncentracija hlorida na dubini  $a$  od površine betona, nakon vremena  $t_{SL}$
- $p_0$  – zahtevana (ciljna) vrednost verovatnoće.



# PRORAČUNSKI DOKAZ ZA GRANIČNO STANJE DEPASIVIZACIJA ARMATURE USLED PENETRACIJE HLORIDA

- Proračun koncentracije hlorida (DuraCrete, Darts):

$$C_{crit} = C(x=a, t) = C_0 + (C_{S,\Delta x} - C_0) \cdot \left[ 1 - erf \frac{a - \Delta x}{2 \cdot \sqrt{D_{app,C} \cdot t}} \right]$$

$C_{crit}$  – kritični sadržaj hlorida [tež.-%/beton],

$C(x, t)$  – sadržaj hlorida u betonu na dubini  $x$  (površina betona:  $x=0$ ) i u vremenu  $t$  [tež.-%/beton],

$C_0$  – inicijalni sadržaj hlorida u betonu [tež.-%/c],

$C_{S,\Delta x}$  – sadržaj hlorida u betonu na dubini  $\Delta x$ , u određenom trenutku vremena  $t$  [tež.-%/beton],

$x$  – dubina sa odgovarajućim sadržajem hlorida  $C(x, t)$ ,

$a$  – debljina zaštitnog sloja [mm],

$\Delta x$  – dubina konvekcione zone [mm],

$D_{app,C}$  – koeficijent difuzije hlorida kroz beton [ $\text{mm}^2/\text{god}$ ],

$t$  – vreme [god],

$erf$  – funkcija grčke (engl. error function).

Sanacije, rekonstrukcije i održavanje betonskih konstrukcija

- Difuziono kontrolisan proces (2. Fick-ov zakon)
- Konvekciona zona
- Koeficijent difuzije  $D_{app,c}$  – metoda hloridnog profila

$$D_{app,C} = k_e \cdot D_{RCM,0} \cdot k_t \cdot A(t)$$

$k_e$  – parametar prenosa uticaja sredine,

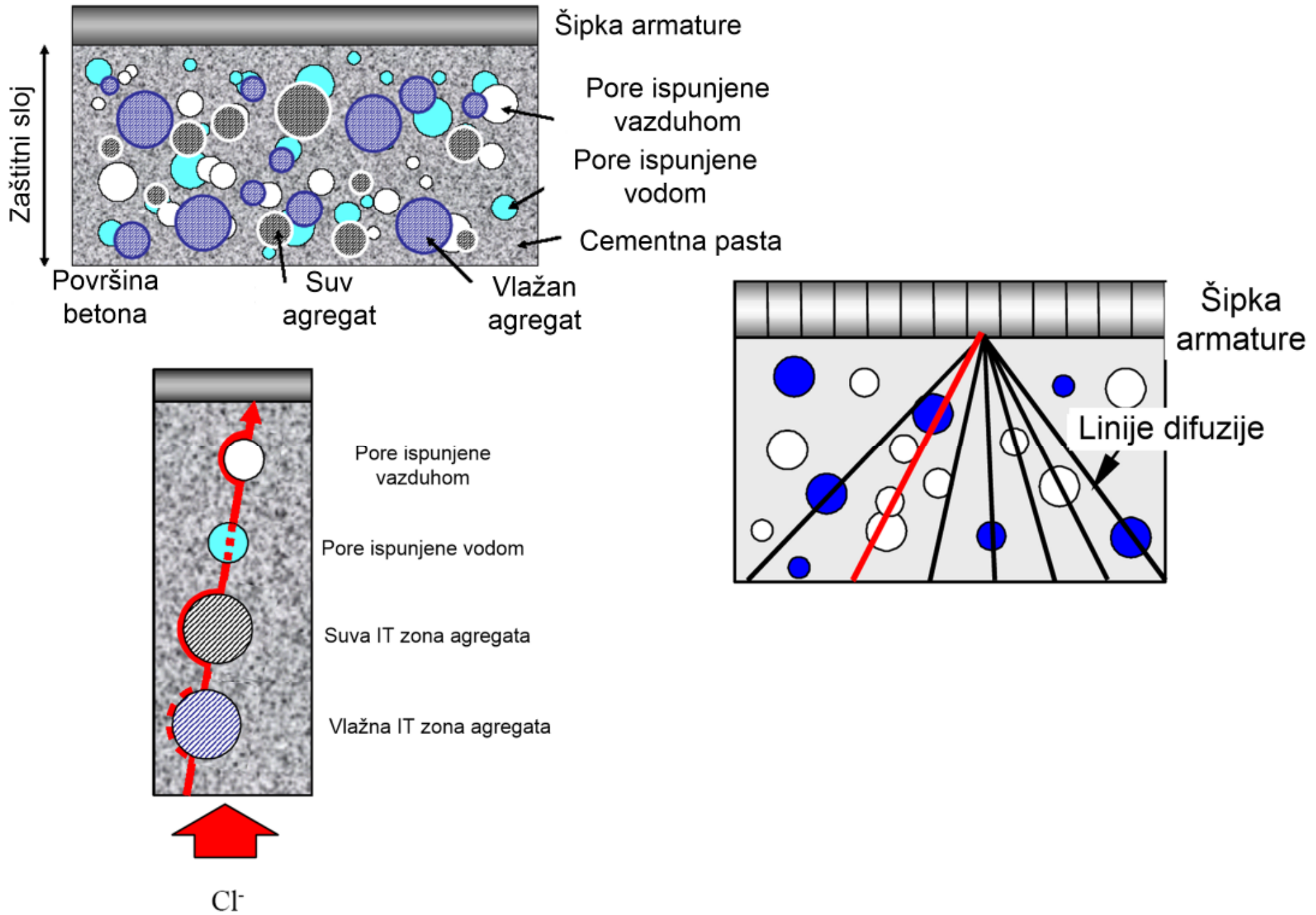
$D_{RCM,0}$  –koeficijent migracije hlorida [ $\text{mm}^2/\text{god}$ ] –*rapid test methods*

$k_t$  – parametar prenosa,

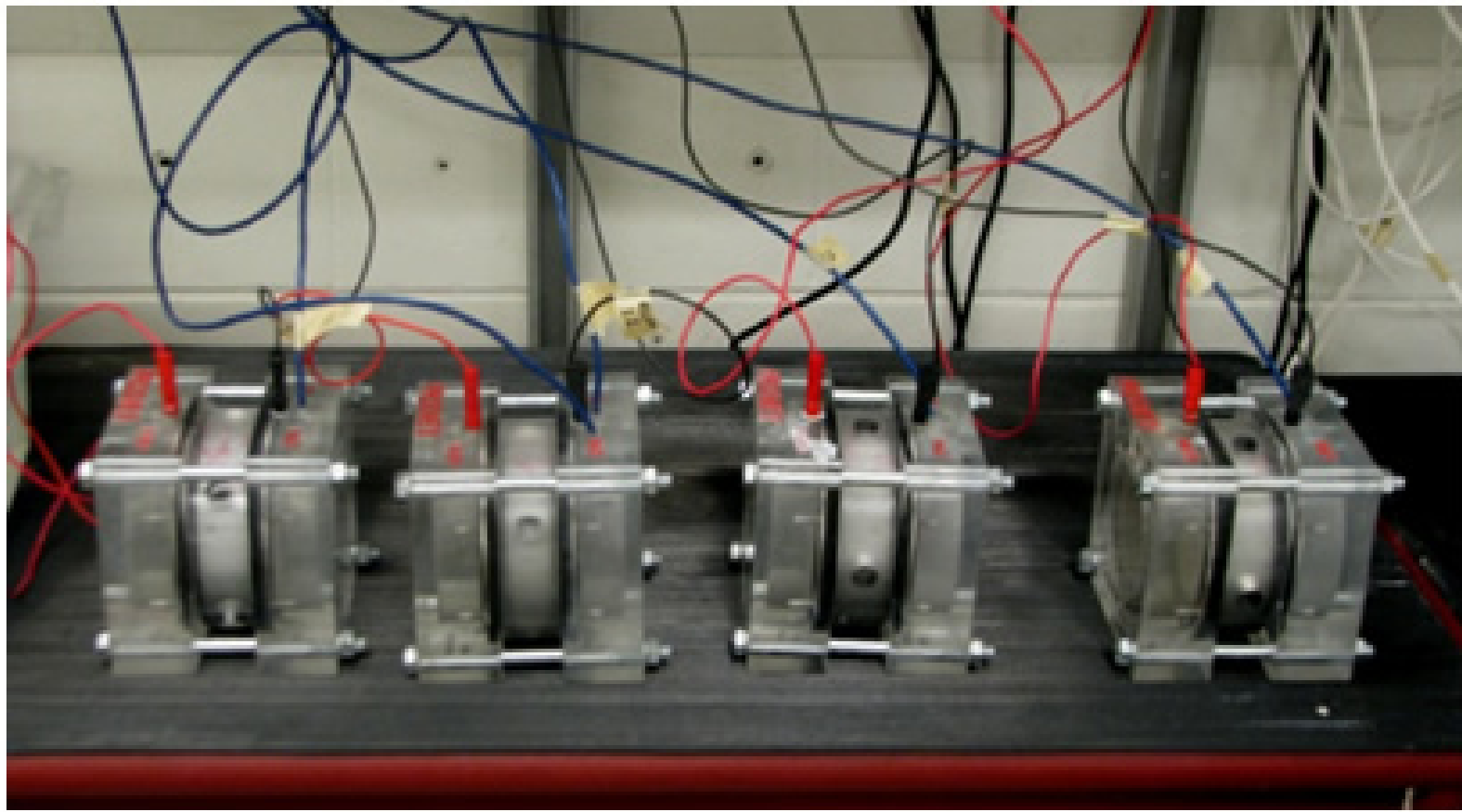
$A(t)$  – podfunkcija koje se odnosi na starenje.

$$A(t) = \left( \frac{t_0}{t} \right)^a$$





60V applied potential  
and Current readings



# KVANTIFIKACIJA PARAMETARA

## Koeficijent migracije hlorida, $D_{RCM,0}$

- Najznačajniji parametar modela
- Podaci iz literature ili određeni na osnovu *Rapid Chloride Migration method (RCM)*

$D_{RCM,0}$ [m <sup>2</sup> /s]	w/c <sub>eqv.</sub> <sup>-1</sup>					
tip cementa	0.35	0.40	0.45	0.50	0.55	0.60
CEM I 42.5 R	n.d. <sup>2</sup>	$8.9 \cdot 10^{-12}$	$10.0 \cdot 10^{-12}$	$15.8 \cdot 10^{-12}$	$19.7 \cdot 10^{-12}$	$25.0 \cdot 10^{-12}$
CEM I 42.5 R + FA (k=0.5)	n.d. <sup>2</sup>	$5.6 \cdot 10^{-12}$	$6.9 \cdot 10^{-12}$	$9.0 \cdot 10^{-12}$	$10.9 \cdot 10^{-12}$	$14.9 \cdot 10^{-12}$
CEM I 42.5 R + SF (k=2.0)	$4.4 \cdot 10^{-12}$	$4.8 \cdot 10^{-12}$	n.d. <sup>2</sup>	n.d. <sup>2</sup>	$5.3 \cdot 10^{-12}$	n.d. <sup>2</sup>
CEM III/B 42.5	n.d. <sup>2</sup>	$1.4 \cdot 10^{-12}$	$1.9 \cdot 10^{-12}$	$2.8 \cdot 10^{-12}$	$3.0 \cdot 10^{-12}$	$3.4 \cdot 10^{-12}$



# KVANTIFIKACIJA PARAMETARA

## Inicijalni sadržaj hlorida, $C_0$

- Izvor
  - hloridima zagađeni agregat
  - cementa
  - Voda
- Ravnomerna raspodela po poprečnom preseku



# KVANTIFIKACIJA PARAMETARA

## Sadržaj hlorida na zamenjujućoj površini $C_{s,\Delta x}$

Parametar okoline (EP) -  $C_{eqv}$

Parametri materijala (MP)

- sastav betona
- izoterme apsorbcije hlorida

Funkcionalna zavisnost između EP i MP

Koncentracija hlorida pri zasićenju  $C_{s,0}$

Funkcije prenosa koje uzimaju u obzir geometriju elementa i uslove izloženosti

- Koncentracija hlorida na površini betona  $C_s$
- Koncentracija hlorida na zamenjujućoj površini  $C_{s,\Delta x}$

Sanacije, rekonstrukcije i održavanje betonskih konstrukcija



# KVANTIFIKACIJA PARAMETARA

## Sadržaj hlorida na zamenjujućoj površini $C_{s,\Delta x}$

- Uticaj sredine:
  - ekvivalentna koncentracija hlorida u vazduhu
  - rastojanje od izvora hlorida
- Parametar okoline – kvantifikacija potencijalog uticaja sredine (koja sadrži hloride) na beton
- Potencijal hlorida koji potiču od soli u morskoj vodi:

$$C_{\text{eqv}} = C_{0,M}$$



# KVANTIFIKACIJA PARAMETARA

## Sadržaj hlorida na zamenjujućoj površini $C_{s,\Delta x}$

- Potencijal hlorida koji potiču od soli protiv smrzavanja:

$$C_{eqv} = C_{0,R} = \frac{n \cdot c_{R,i}}{h_{S,i}}$$

$C_{0,R}$  – prosečan sadržaj hlorida u hloridno kontaminiranoj vodi

$n$  – prosečan broj posipanja soli tokom godine,

$c_{R,i}$  –prosečna količina rasutih hlorida tokom jednog posipanja soli

$h_{S,i}$  –količina vode od kiše i otopljenog snega tokom jedne zimske sezone (dok traje posipanje soli)



# KVANTIFIKACIJA PARAMETARA

## Sadržaj hlorida na zamenjujućoj površini $C_{S,\Delta x}$

- $C_{\text{eqv}} + \text{izoterme apsorbcije hlorida} \longrightarrow$   
koncentracija hlorida pri zasićenju,  $C_{S,0}$
  
- Beton pod stalnim uticajem hlorida konstantne koncentracije (npr. u morskoj vodi):  
$$C_{S,0} = C_S$$
  
- Beton pod povremenim uticajem hlorida promenljive koncentracije  $\longrightarrow$   
Funkcija prenosa,  $\Delta x$



# KVANTIFIKACIJA PARAMETARA

## Funkcija prenosa, $\Delta x$

- “zona zapljuskivanja“ (engl. *splash zone*),
- “plimska zona“ (engl. *tidal zone*),
- “potopljena zona“ (engl. *submerged zone*),
- “zonu prskanja“ (engl. *spray zone*),
- “atmosfersku zona“ (engl. *atmospheric zone*),
  
- “zona zapljuskivanja“ :  $6,0 \text{ mm} \leq \Delta x \leq 11,0 \text{ mm}$
- “plimska zona“:  $\Delta x$
- “potopljena zona“ :  $\Delta x=0$
- “zonu prskanja“ :  $\Delta x=0$



# KVANTIFIKACIJA PARAMETARA

## Kritični sadržaj hlorida $C_{crit}$

- Ukupni sadržaj hlorida koji vodi do depasivizacije armature
- $C_{crit,min} = 0,40$  tež.-%/cement (AFGE)
- $C_{crit,min} = 0,35$  tež.-%/cement (BS)
- $C_{crit,min} = 0,20$  tež.-%/cement (***fib***, Model Code)



$$P_f = P\{Z(X) < 0\}$$

# PRORAČUNSKI DOKAZ ZA GRANIČNO STANJE DEPASIVIZACIJA ARMATURE USLED PENETRACIJE HLORIDA

- Primena metode parcijalnih koeficijenata sigurnosti
- Jednačina graničnog stanja:

$${C_{Crit}}^d - C^d(x, t) \geq 0$$

- $C_{Crit}^d$  – proračunska kritična vrednost koncentracije hlorida
- $C_d(x, t)$  – proračunska vrednost koncentracije hlorida na rastojanju  $x$  od spoljašnje površine betona nakon vremena  $t$  izloženosti dejству hlorida



# PRORAČUNSKI DOKAZ ZA GRANIČNO STANJE DEPASIVIZACIJA ARMATURE USLED PENETRACIJE HLORIDA

Trenutak depasivizacije:  $C_{Crit}^d = C^d(x, t)$

$$C_{Crit}^d = C_S^d \cdot \left[ 1 - erf\left( \frac{a^d}{2 \cdot \sqrt{D_{app,C}^d(t) \cdot t}} \right) \right]$$

$C_S^d$  – proračunska vrednost koncentracije hlorida na površini betona

$erf$  – funkcija greške -  $erf(x) = \frac{2}{\sqrt{\pi}} \cdot \int_0^x e^{-t^2} dt$

$a^d$  – proračunska vrednost debljine zaštitnog sloja

$D_{app,C}^d$  – proračunska vrednost koeficijenta difuzije hlorida

$t$  – vreme izloženosti betona dejству hlorida



# PRORAČUNSKI DOKAZ ZA GRANIČNO STANJE DEPASIVIZACIJA ARMATURE USLED PENETRACIJE HLORIDA

$$\frac{C_{Crit}^c}{\gamma_{C_{Crit}}} = \left( C_S^c \cdot \gamma_{C_S} \right) \cdot \left[ 1 - erf \left( \frac{a_{nom} - \Delta a}{2 \cdot \sqrt{k_e^c \cdot D_{RCM,0}^c \cdot k_t^c \cdot \left( \frac{t_0}{t} \right)^a \cdot \gamma_D \cdot t}} \right) \right]$$



$$a_{nom} = erf^{-1} \left( 1 - \frac{C_{Crit}^c}{\gamma_{C_{Crit}}} \cdot \frac{1}{C_S^c \cdot \gamma_{C_S}} \right) \cdot 2 \cdot \sqrt{k_e^c \cdot D_{RCM,0}^c \cdot k_t^c \cdot \left( \frac{t_0}{t} \right)^a \cdot \gamma_D \cdot t} + \Delta a$$



# PRORAČUNSKI DOKAZ ZA GRANIČNO STANJE DEPASIVIZACIJA ARMATURE USLED PENETRACIJE HLORIDA

$$\frac{C_{Crit}^c}{\gamma_{C_{Crit}}} = \left( C_S^c \cdot \gamma_{C_S} \right) \cdot \left[ 1 - erf \left( \frac{a_{nom} - \Delta a}{2 \cdot \sqrt{k_e^c \cdot D_{RCM,0}^c \cdot k_t^c \cdot \left( \frac{t_0}{t} \right)^a \cdot \gamma_D \cdot t}} \right) \right]$$



$$t = \left[ \left( \frac{2}{a_{nom} - \Delta a} \cdot erf^{-1} \left( 1 - \frac{C_{Crit}^c}{\gamma_{C_{Crit}}} \cdot \frac{1}{C_S^c \cdot \gamma_{C_S}} \right) \right)^{-2} \cdot \frac{1}{k_e^c \cdot D_{RCM,0}^c \cdot k_t^c \cdot \left( \frac{t_0}{t} \right)^a \cdot \gamma_D} \right]^{\frac{1}{1-n}}$$



## BROJNI PRIMER\_2

- AB stubovi mosta preko vodene prepreke (mora)
- Zahtevana pouzdanost:  $\beta=2,3$
- Metoda parcijalnih koeficijenata sigurnosti
- $T=100$  god
- Debljina zaštitnog sloja?



## BROJNI PRIMER\_2

- Ključni parametri:
  - Površinska koncentracija hlorida
  - Koeficijent difuzije hlorida
  - Kritični sadržaj hlorida
- Indeks pouzdanosti:  $\beta=2,3$   koeficijenti sigurnosti
- “potopljena zona” :  $\Delta x=0$
- Inicijalna količina hlorida u betonu:  $C_0=0$

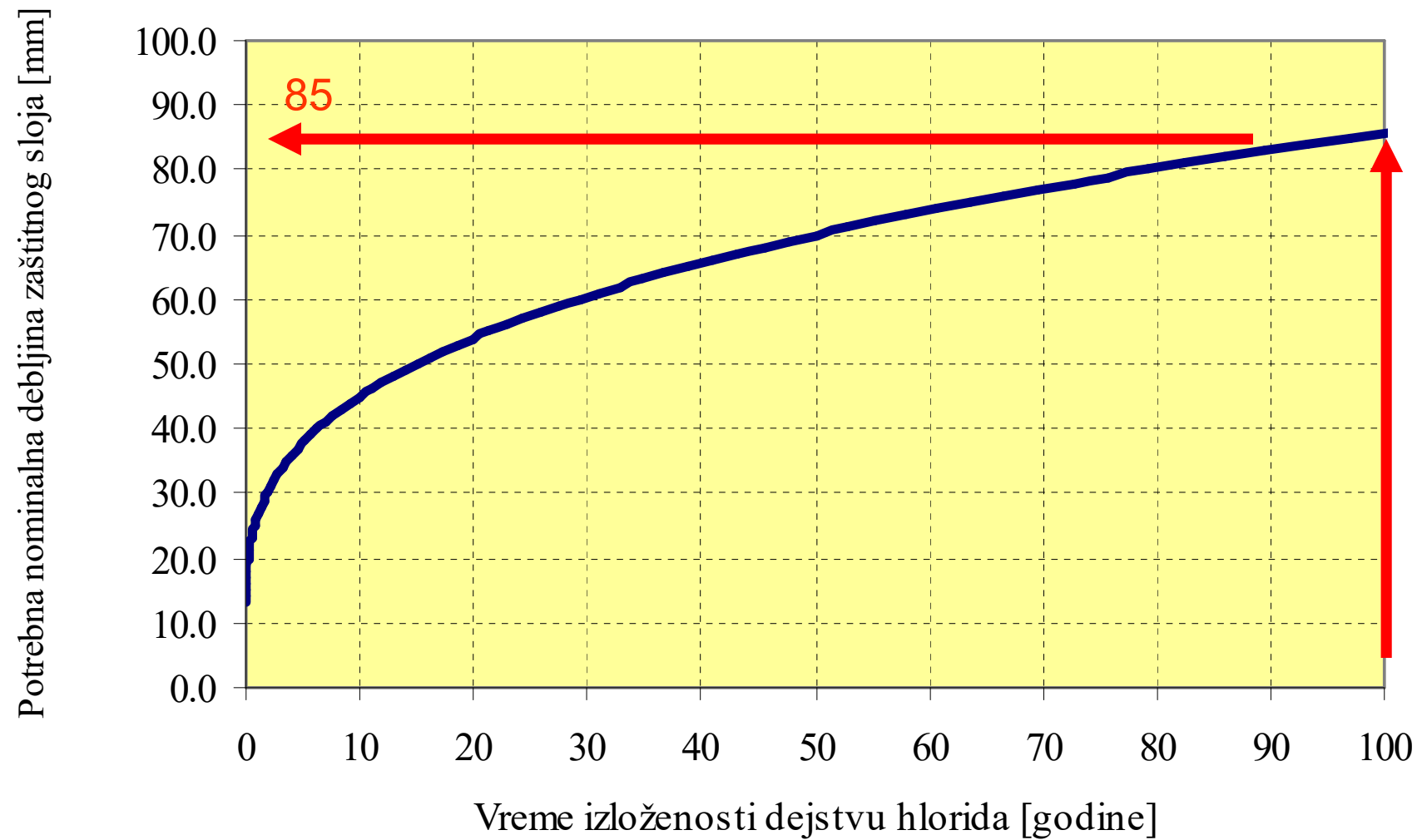


# BROJNI PRIMER\_2

Parametar	Jedinica	Ulagani podatak
$C_{crit}^d$	$C_{cr}$ [tež.%/beton]	0.9
	$\gamma_{Ccrit}$ [-]	1.05
$C_s^d$	$C_s$ [tež..%/beton]	2.33
	$\gamma_{Cs}$ [-]	1.35
	$T_{ref}$ [K]	293
$k_{e,d}$	$T_{real}$ [K]	298
	$b_e$ [-]	4800
$k_{t,d}$	[-]	0.85
$A(t)$	$t_0$ [god]	0.0767
	$a$ [-]	0.3
$\gamma_D$	[-]	2.2
	$D_{RCM,0}$ [ $m^2/s$ ]	79
$a_d$	$a_{nom}$ [mm]	?
	$\Delta a$ [mm]	12



## BROJNI PRIMER\_2

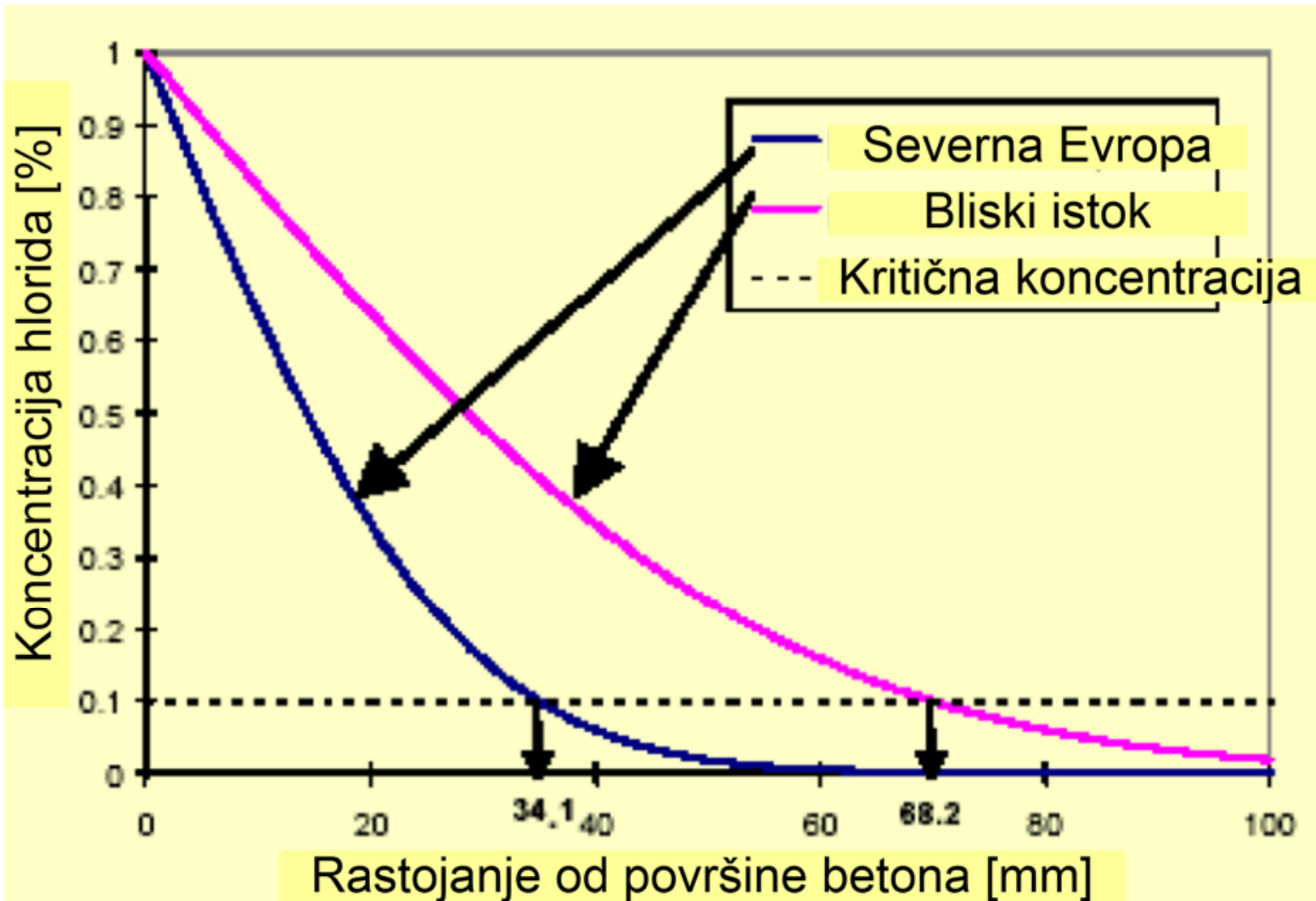


## BROJNI PRIMER\_1

- Debljina zaštitnog sloja prema BAB 87?
- Minimalna debljina:  $a_0 = 2,0 \text{ cm}$
- "jako" agresivna sredina: +1,5 cm
- "površina elementa teško dostupna kontroli": +0,5 cm
- Klizajuća oplata: +1,0 cm
  
- $a = 2,0 + 1,5 + 0,5 + 1,0 = 5,0 \text{ cm}$
  
- Upotreбni vek?



# UMESTO ZAKLJUČKA

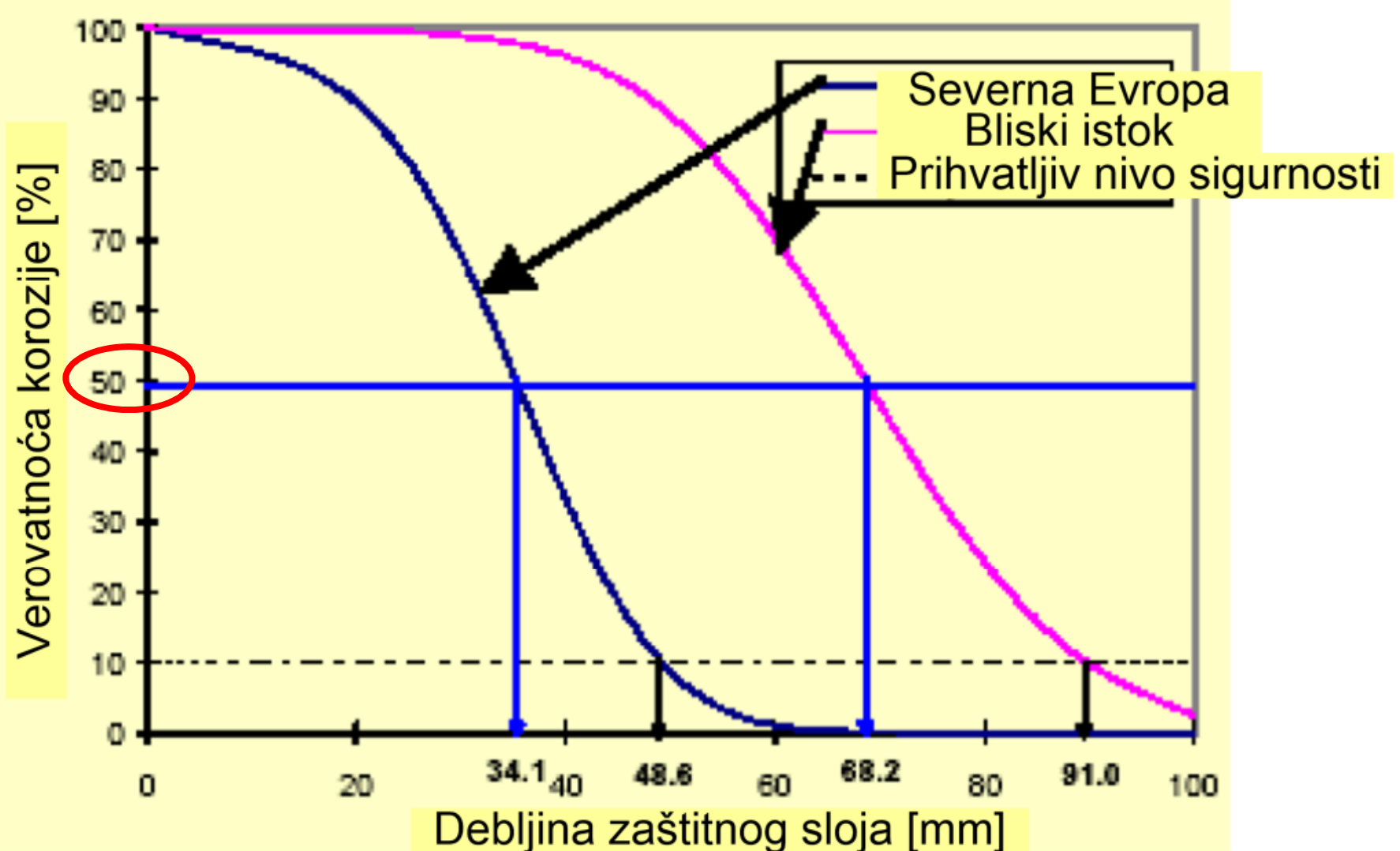


## DETERMINISTIČKI PRISTUP TRAJNOSTI



Sanacije, rekonstrukcije i održavanje betonskih konstrukcija

# UMESTO ZAKLJUČKA



## PROBABILSTIČKI PRISTUP TRAJNOSTI



Sanacije, rekonstrukcije i održavanje betonskih konstrukcija